

非诺贝特通过 FoxO1 抑制心肌肥大

刘 薇² 郑强荪^{1△} 郭万刚¹ 杨国栋³ 卢晓昭³

(1 解放军第四军医大学唐都医院心内科 陕西 西安 710038 ; 2 解放军第四五一医院心内科 陕西 西安 710054 ;

3 解放军第四军医大学生物化学与分子生物教研室 陕西 西安 710032)

摘要 目的 探讨非诺贝特(fenofibrate)对血管紧张素 (Ang)诱导的肥大心肌细胞的抑制作用及对 FoxO1 表达的影响。方法 :首先采用 Ang 诱导心肌细胞肥大 ,将细胞分为三组 对照组 :未给予任何干预 ;心肌细胞肥大组 :Ang $(10^{-7} \text{ mol / L})$ 刺激细胞 ;治疗组 先给予 fenofibrate (10^{-5} mol / L) 30min 后 Ang $(10^{-7} \text{ mol / L})$ 刺激细胞。应用蛋白免疫印迹法(western-blotting) 和实时定量 PCR 法(real time PCR)检测各组细胞中转录因子 FoxO1 的蛋白质及 mRNA 含量 ,心肌细胞肥大的判断使用脑钠肽(brain natriuretic peptide BNP)。结果 :心肌细胞肥大组的 FoxO1 表达较对照组明显降低 ,而治疗组的 FoxO1 表达较心肌肥大组明显升高。结论 非诺贝特可能通过上调 FoxO1 表达 ,从而抑制心肌细胞肥大。

关键词 非诺贝特 血管紧张素 心肌肥大 FoxO1

中图分类号 Q813.R54 文献标识码 A 文章编号 :1673-6273(2012)08-1449-03

Inhibiting Effects of Fenofibrate on Myocardial Hypertrophy Mediated by FoxO1

LIU-wei^{1,2}, ZHENG Qiang-sun^{1△}, GUO Wan-gang¹, YANG Guo-dong³, LU Xiao-zhao³

(1 Department of Cardiology, Tangdu Hospital, Fourth Military Medical University, Xian 710038, Shaanxi, China;

2 NO.451 Hospital of PLA, Xian 710054, Shaanxi, China;

3 Department of Biochemistry and Molecular Biology, the Fourth Military Medical University, Xi'an 710032, Shaanxi, China)

ABSTRACT Objective: To investigate effect of fenofibrate on myocardial hypertrophy induced by angiotensin II (Ang II) and transcription factor FoxO1 expression for theoretical bases of preventing and treating myocardial hypertrophy. **Methods:** H9C2 cells were divided into 3 groups: normal control group; hypertrophy group: cells were stimulated by Ang (10^{-7} mol/L) ; treatment group :cells were treated with fenofibrate (10^{-5} mol/L) , 30 min before adding Ang (10^{-7} mol/L) . The method of western-blotting and real time PCR were adopted to detect the FoxO1 expression. Brain natriuretic peptide (BNP) was the symbol of cardiac myocyte hypertrophy. **Results:** The mRNA and protein level of FoxO1 decreased significantly in the hypertrophy group compared with that in the normal control and treatment group. **Conclusion:** Fenofibrate inhibits cardiac myocyte hypertrophy, upregulates the expression of FoxO1.

Key words: Fenofibrate; Angiotensin II; Myocardial hypertrophy; FoxO1

Chinese Library Classification(CLC): Q813, R54 **Document code:** A

Article ID:1673-6273(2012)08-1449-03

前言

心肌肥大是发生心肌缺血、心律失常和猝死的独立危险因子^[1] 其发病机制尚不完全清楚 ,因而缺乏有效的防治措施。近期转录因子在心肌肥大中的作用受到广泛关注 ,其中转录因子 FoxO1 是研究的热点 ,参与氧自由基的生成、细胞凋亡、细胞周期的调控 ,是心肌肥大的负性调控因子^[2,3]。非诺贝特是过氧化物酶体增殖物激活受体 - α (peroxisome proliferator-activated receptor- α ,PPAR- α)的激动剂 ,大量研究表明 PPAR- α 不仅参与调节心脏能量代谢 ,还调节心肌肥大的发生 ,但是其具体机制并不清楚^[4]。本研究旨在探讨非诺贝特和转录因子 FoxO1 的相互作用与心肌肥大的关系。

1 材料和方法

1.1 材料

H9C2 细胞系(中科院上海细胞库);Ang ng 、fenofibrate (辉瑞公司);DMEM 培养基 (Gibco 公司);胎牛血清 (Hyclone 公司);兔抗 FoxO1 多克隆抗体(Merck 公司);鼠抗 α -tubulin 多克隆抗体(Santa Cruz 公司);TRIzol(Invitrogen 公司);反转录试剂盒(Promega 公司);引物(上海生工生物技术公司);实时定量 PCR 反应所用试剂(Genecopoeia 公司)。

1.2 肥大模型建立

以 5×10^4 个 /mL 的密度将 H9C2 细胞接种于 6 孔板 ,每孔分别加入 2mL10% 胎牛血清 ,置于 37°C 、5%CO₂ 孵箱中培养 ,24 小时后换 2% 胎牛血清培养液 ,并继续孵育 24 小时后 ,每孔细胞均加入 10^{-7} mol / L Ang ng , 分别在 1 小时 ,6 小时 ,12 小时 ,18 小时 ,24 小时 ,36 小时收取样本。每组设 3 个复孔 实验重复 10 次。

1.3 实验分组

作者简介 刘薇(1980-) ,女 ,硕士研究生 ,主治医师 ,研究方向心血管电生理研究 E-mail liuwei800626@sina.com

△通讯作者 郑强荪 E-mail qingshu@fmmu.edu

(收稿日期 2011-11-23 接受日期 2011-12-20)

将细胞分为三组 对照组 培养液中无干预因素 心肌肥大组：加入 10^{-7} mol/L Ang ；治疗组：预先给予 fenofibrate (10^{-5} mol/L) ,30min 后再加入 Ang (10^{-7} mol/L)。每组设 3 个复孔，实验重复 10 次。根据成功建立肥大模型的结果，给予细胞相应时间段刺激。

1.4 RNA 提取和实时定量 PCR

收集上述各组细胞，每孔加入 TRIzol500ml，按照操作说明提取细胞总 RNA，并反转录合成 cDNA。使用 Primer Premier 5.0 进行引物设计，BNP 序列如下：上游 5'-TGA TTC TGC TCC TGC TTT TC-3'，下游 5'-GTG GAT TGT TCT GGA GAC TG-3'；FOXO1 引物序列：上游 5'-TAC GAG TGG ATG GTG AAG GA-3'，下游 5'-GAC AGA TTG TGG CGA ATT GA-3'。 β -actin 引物序列：上游 5'-CGT TGA CAT CCG TAA AGA CC-3'，下游 5'-AAC AGT CCG CCT AGA AGC AC-3'。扩增条件为 95°C 预变性 10S, 95°C 5S, 60°C 退火延伸 20S, 循环 40 次，反应体系为 20 μ L。

1.5 Western blot 法检测 FoxO1 蛋白表达

按本实验室常规方法提取蛋白样品及进行蛋白定量。聚丙烯酰胺凝胶电泳分离蛋白，半干式电转移法将蛋白质转移到 NC 膜上。用含 5% 脱脂奶粉的封闭液封闭 2h 后，加入用 TBST 以 1:1000 稀释的一抗，放入 4°C 冰箱过夜，第二天 TBST5min 洗 3 次，加入按 1:2000 稀释的二抗，室温避光摇晃孵育 2h，用 TBST5min 洗 3 次，采用 Odessey 影像系统观察并照相分析。

1.6 统计学处理

采用 SPSS 12.0 软件进行数据分析，各组数据采用均数±标准差($x \pm s$)表示，两组均数间比较采用 LSD-t 检验。检验水准 $\alpha=0.05$ $P<0.05$ 具有统计学意义。

2 结果

2.1 肥大模型的建立

Real time PCR 反应结束后 β -actin mRNA 的 CT 值作为参照，采用 $2^{-\Delta\Delta CT}$ 法分析结果，计算 BNP mRNA 表达的相对量。Ang 作用 12 小时组较其他时间段明显增高($P<0.05$)。

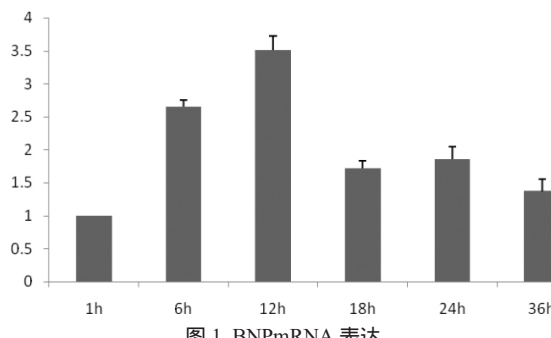


Fig.1 Expression of BNP mRNA

注： $\blacktriangle P<0.05$, 1 小时对 12 小时； $\bullet P<0.05$, 6 小时对 12 小时； $\# P<0.05$, 18 小时对 12 小时； $\star P<0.05$, 24 小时对 12 小时； $\blacklozenge P<0.05$, 36 小时对 12 小时

Note: $\blacktriangle P<0.05$, 1h with 12h; $\bullet P<0.05$, 6h with 12h; $\# P<0.05$, 18h with 12h; $\star P<0.05$, 24h with 12h; $\blacklozenge P<0.05$, 36h with 12h

2.2 非诺贝特对 Ang 诱导的肥大心肌细胞中 FoxO1 及 BNP

mRNA 表达的影响

BNP 表达变化 心肌肥大组明显高于对照组和治疗组($P<0.05$)，见图 2。FoxO1 的表达变化 心肌肥大组明显低于对照组和治疗组($P<0.05$)，见图 3。

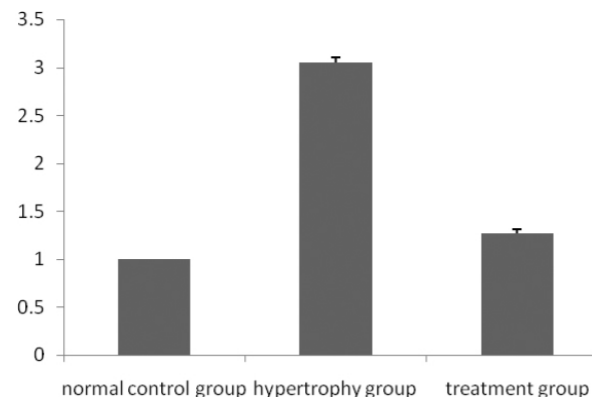


Fig.2 Expression of BNPmRNA

注： $\blacktriangle P<0.05$ ，心肌肥大组与对照组； $\bullet P<0.05$ ，心肌肥大组与治疗组

Note: $\blacktriangle P<0.05$, hypertrophy group compared with nomal control group;

$\bullet P<0.05$, hypertrophy group compared with treatment group.

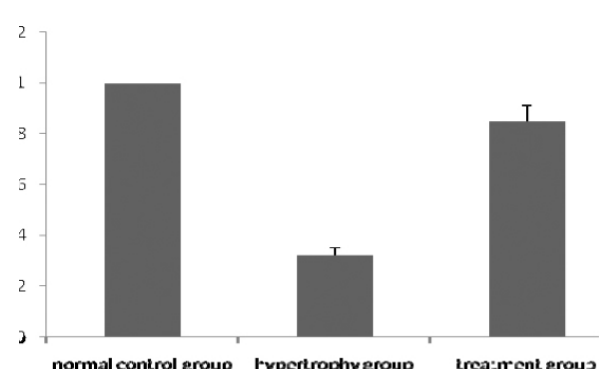


Fig.3 Expression of FOXO1mRNA

注： $\blacktriangle P<0.05$ ，心肌肥大组与对照组； $\bullet P<0.05$ 心肌肥大组与治疗组

Note: $\blacktriangle P<0.05$, hypertrophy group compared with nomal control group;

$\bullet P<0.05$, hypertrophy group compared with treatment group.

2.3 非诺贝特对 Ang 诱导的肥大心肌细胞中 FoxO1 蛋白含量的影响

Western blot 检测的蛋白结果用凝胶成像系统分析，以 α -tubulin 作为内参，FoxO1 与 α -tubulin 的条带光密度值的性对量进行比较。心肌肥大组明显低于对照组和治疗组，($P<0.05$)。见图 4 表 1。

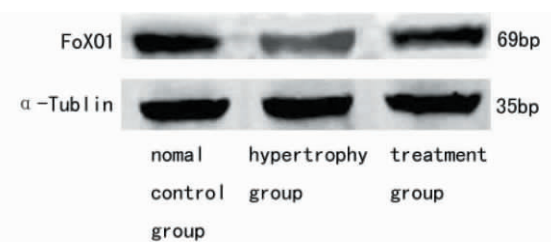


Fig.4 Expression of protein FoxO1

表 1 FoxO1 蛋白表达($\bar{x} \pm s$, n=10)

Table 1 Expression of protein FoxO1

Experiment grouping	Protein (FoxO1/β-actin)
Nomal control group	0.67±0.07
Hypertrophy group	0.35±0.08▲●
Treatment group	0.6755±0.01

Note: ▲P < 0.05, nomal control group compared with hypertrophy group ;

●P < 0.05, hypertrophy group compared with treatment group.

3 讨论

心肌肥大是心脏对机械负荷及神经体液因子改变的代偿性反应。心肌肥厚是心脏对机械负荷及神经体液因子改变的代偿性反应。先天性心脏病、高血压、心肌梗死、心脏瓣膜疾病等心血管疾病均会引起心肌慢性压力-容量负荷过重，心脏出现代偿性反应，表现为心肌肥大。若不及时干预，最终会导致严重心律失常、心力衰竭、甚至猝死。因此，如何从心肌肥大发生的机制上防止心血管恶性事件的发生，一直是心血管基础研究的热点。

心肌细胞的肥大在分子水平上包括三方面：胞外的肥大刺激信号、胞内信号转导及核内基因转录的活化。心肌细胞内有两条重要的信号转导通路：一是钙调神经磷酸酶通路，细胞内钙离子浓度的增加，活化了钙调素(Calmodulin, CaM)依赖的蛋白磷酸酶，即钙调神经磷酸酶(Calcineurin, CaN)，从而激活了通向核内的活化 T 细胞核因子信号通路；二是 PI3K-Akt 通路：生长因子与配体结合后激活了 PI3K，后者通过激活磷脂酰肌醇依赖激酶 1(PDK1)激活 Akt，一方面引起下游分子 mTOR 和 GSK3 的活化^[5-6]。

转录因子通过于心肌细胞肥大相关基因的 mRNA 结合，引起相关基因的表达或抑制，从而调控心肌肥大。大量研究证实转录因子 FoxO 参与心肌肥大的调控：胞核内活化的 FoxO，激活目标基因——肌肉萎缩相关因子 -1(Atrogin-1)，抑制 CaN 的活性，防止心肌肥大；而心肌肥大的 PI3K-Akt 通路中，活化的 Akt 却能导致 FoxO 的磷酸化，FoxO 从细胞核移出到细胞质，失去活性。可见转录因子 FoxO 与心肌肥大中的多个信号通路有密切关系。FoxO 包含 4 个成员：FoxO1、FoxO3、FoxO4 和 FoxO6，而 FoxO1、FoxO3 和 FoxO4 在心脏组织表达^[7-9]，与心肌细胞的发育、能量代谢及肥大密切相关。

PPAR-α 主要表达于肝细胞及心肌细胞，其下调和失活可能参与了高血压性心脏病的发病与转归。PPAR-α 激活后对心血管有明确的保护作用，而这一保护作用通过 PI3K-Akt 通路实现^[10]。所以本实验通过非诺贝特给药，观察心脏肥大以及 FoxO1 表达情况来探讨两者之间的关系。

实验采用在心肌肥大中与原代大鼠心肌细胞具有相同反应的 H9C2 细胞系^[11-12]。首先是建立肥大模型：BNP 作为判断心肌肥大的指标，单纯给予 Ang 刺激的细胞与对照组比较，BNP mRNA 明显升高，而非诺贝特组与单纯 Ang 作用的细胞比较，其 BNP mRNA 明显降低。实验进一步证实了肥大模型建立的成功，以及非诺贝特对心肌肥大的抑制作用。我们通过

观察实验过程中 FoxO1 表达变化发现：肥大心肌细胞 FoxO1 的含量明显降低，而预先给予非诺贝特的心肌细胞，在 Ang 的作用下，细胞并未发生肥大，且细胞内 FoxO1 的含量较对照组明显升高。由此我们得出 PPAR-α 激动剂对心肌肥厚的抑制作用，可能部分与转录因子 FoxO1 有关。

综上所述，非诺贝特除了有明确调节心肌能量代谢的作用，还有抑制心室重构、改善心功能，降低心血管疾病发病率及死亡率^[13-17]。本研究为 PPAR-α 激动剂在临床的新用途提供了有力的实验支持。但是，该类药物对心肌肥大抑制作用可能涉及的机制仍需深入研究。

参考文献(References)

- [1] el Azzouzi H, De Windt LJ. Heart Spotting [J]. Basic Res Cardiol, 2008, 103(3): 228-231
- [2] Creemers EE, Sutherland LB, McAnally J, et al. Myocardin is a direct transcriptional target of Mef2, Tead and Foxo Proteins during cardiovascular development[J]. Development, 2006, 133(21):4245-4256
- [3] Ronnebaum SM, Patterson C. The FoxO Family in Cardiac Function and Dysfunction[J]. Annu Rev Physiol, 2010, 17(72):81-94
- [4] Irukayama TY, Miyauchi T, Sakai S, et al. Endothelin-1-induced cardiac hypertrophy is inhibited by activation of peroxisome proliferator-activated receptor-α partly via blockade of C-jun NH2 terminal kinase pathway[J]. Circulation, 2004, 109(7):904-910
- [5] Shiojima I, Walsh K. Regulation of cardiac growth and coronary angiogenesis by the Akt/PKB signaling Pathway [J]. Genes Dev, 2006, 20(24):3347-3365
- [6] Stitt TN, Drujan D, Clarke BA, et al. The IGF-1/PI3K/Akt Pathway Prevents expression of muscle atrophy-induced ubiquitin ligases by inhibiting FOXO transcription factors[J]. Mol. Cell, 2004, 14(3): 395-403
- [7] Ni YG, Berenji K, Wang N, et al. Foxo transcription factors blunt cardiac hypertrophy by inhibiting calcineurin signaling [J]. Circulation, 2006, 114(11):1159-1168
- [8] Molkentin JD, Lu JR, Antos CL, et al. A calcineurin-dependent transcriptional Pathway for cardiac hypertrophy[J]. Cell, 1998, 93(2):215-228
- [9] Li HH, Kedar V, Zhang C, et al. Atrogin-1/muscle atrophy F-box inhibits calcineurin-dePendent cardiac hypertrophy by participating in an SCF ubiquitin ligase complex [J]. J.Clin. Investig, 2004, 114(8): 1058-1071
- [10] Kerkela R, Kockeritz L, Macaulay K, et al. Deletion of GSK-3 beta in mice leads to hypertrophic cardiomyopathy secondary to cardiomyoblast hyperproliferation [J]. J Clin Invest, 2008, 118(11): 3609-3618

(下转第 1429 页)

作用^[1],同样,内质网应激预处理能保护肾脏细胞对抗氧化损伤^[12-14]。在内质网应激条件下,细胞在自我保护和凋亡之间是如何选择的,如何将内质网应激的两面性应用于临床,将是下一阶段的研究重点。

参考文献(References)

- [1] Lentsch AB, Kato A, Yoshidome H, et al. Inflammatory mechanisms and therapeutic strategies for warm hepatic ischemia/reperfusion injury [J]. Hepatology, 2000, 32(2):169-173
- [2] Malhi H, Gores GJ. Cellular and molecular mechanisms of liver injury [J]. Gastroenterology, 2008, 134(6):1641-1654
- [3] Murry CE, Jennings RB, Reimer KA. New insights into potential mechanisms of ischemic preconditioning[J]. Circulation, 1991, 84(1):442-445
- [4] Koti RS, Seifalian AM, Davidson BR . Protection of the liver by ischemic preconditioning: a review of mechanisms and clinical applications [J]. Dig Surg, 2003,20(5):383-396
- [5] Harding HP, Zhang Y, Ron D. Protein translation and folding are coupled by an endoplasmic-reticulum-resident kinase [J].Nature , 1999,398(6722):90
- [6] Schröder M, Kaufman RJ. ER stress and the unfolded protein response [J]. Mutat Res, 2005,569(1-2):29-63
- [7] Nakagawa T, Zhu H, Morishima N, et al. Caspase-12 mediates endoplasmic-reticulum-specific apoptosis and cytotoxicity by amyloid-beta [J]. Nature, 2000 ,403(6765):98-103
- [8] Wang XZ, Harding HP, Zhang Y, et al. Cloning of mammalian Ire1 reveals diversity in the ER stress responses [J].EMBO J, 1998, 17(19): 5708-5717
- [9] Vilatoba M, Eckstein C, Bilbao G, et al. Sodium 4-phenylbutyrate protects against liver ischemia reperfusion injury by inhibition of endoplasmic reticulum-stress mediated apoptosis [J]. Surgery,2005 ,138(2): 342-351
- [10] Lee AS. The glucose-regulated proteins: stress induction and clinical applications [J]. Trends Biochem Sci, 2001, (8):504-510
- [11] Oikawa D, Kimata Y, Kohno K. Self-association and BiP dissociation are not sufficient for activation of the ER stress sensor Ire1 [J]. J Cell Sci, 2007,120(Pt 9):1681-1618
- [12] Korennykh AV, Egea PF, Korostelev AA, et al. The unfolded protein response signals through high-order assembly of Ire1 [J]. Nature, 2008, 457(7230):687-693
- [13] Murphy MP. How mitochondria produce reactive oxygen species [J]. BiochemJ, 2009,417(1):1-13
- [14] Kopan R, Ilagan MX. The canonical Notch signaling pathway: unfolding the activation mechanism [J].Cell ,2009,137(2):216-233

(上接第 1451 页)

- [11] Huang CY, Chueh PJ, Tseng CT, et al. ZAK re-programs atrial natriuretic factor expression and induces hypertrophic growth in H9C2 cardiomyoblast cells[J].Biochem BioPhys Res, 2004,324(3):973-980
- [12] Watkin SJ, Borthwick GM, Arthur HM, et al. The H9C2 cell line and Primary neonatal cardiomyocyte cells show similar hypertrophic responses in vitro[J].In Vitro Cell Dev Biol Anim, 2010, 47(2):125-131
- [13] Huang Y, Zhang H, Shao Z, et al. Suppression of endothelin -1 induced cardiac myocyte hypertrophy by PPAR agonists: role of diacylglycerol kinase zeta [J]CardiovascRes, 2011, 90(2):267-275
- [14] Hou N, Luo MS, Liu SM, et al. Leptin induces hypertrophy through activating the peroxisome proliferator-activated receptor α pathway in cultured neonatal rat cardiomyocytes [J]. Clin Exp Pharmacol Physiol, 2010, 37(11):1087-1095
- [15] Li CB, Li XX, Chen YG, et al. Effects and mechanisms of PPARalpha activator fenofibrate on myocardial remodelling in hypertension[J]. J Cell Mol Med, 2009, 13(11-12):4444-4452
- [16] Lebrasseur NK, Duhaney TA, De Silva DS, et al. Effects of fenofibrate on cardiac remodeling in aldosterone-induced hypertension [J]. Hypertension, 2007, 50(3):489-496
- [17] Brigadeau F, GeléP, Wibaux M, et al. The PPARalpha activator fenofibrate slows down the progression of the left ventricular dysfunction in porcine tachycardia-induced cardiomyopathy[J]. J Cardiovasc Pharmacol, 2007, 49(6):408-415